

## 非線型 Klein-Gordon 方程式のソリトン

RCA基礎講義 広田 良吾

### §1. 序

非線型 Klein-Gordon 方程式、特に sine-Gordon 方程式<sup>1)</sup>は色々の物理現象の model 方程式として有名であるが<sup>2), 3)</sup> 4), 5) この方程式の解が、ある種の非線型回路方程式で得られた格子ソリトンの解と、非常によく似た性質をもつ事と、解の具体的な形を求めて明らかにする。

この非線型回路方程式は極限操作によつて Modified Korteweg-de Vries equation になり、Modified Korteweg-de Vries equation の解から Korteweg-de Vries equation の解が求まり<sup>6)</sup>、Korteweg-de Vries equation は戸田先生によつて研究された非線型格子振動の方程式<sup>7)</sup>ともつながつてゐる。一方 KdV equation と Schrödinger eq. とは面白い関係があることは知られてゐるが<sup>8)</sup>、非線型 Klein-Gordon 方程式の厳密解を求めて、それからの すれについて線型化すると、

Schrödinger eq. が得られるので、非線型 Klein-Gordon 方程式と KdV eq. とは Schrödinger eq. を通じても結ばれている。又、戸田型非線型格子振動方程式は、これと等価な非線型回路方程式にほかならぬ事も出来る。<sup>9)</sup> 図1 参照

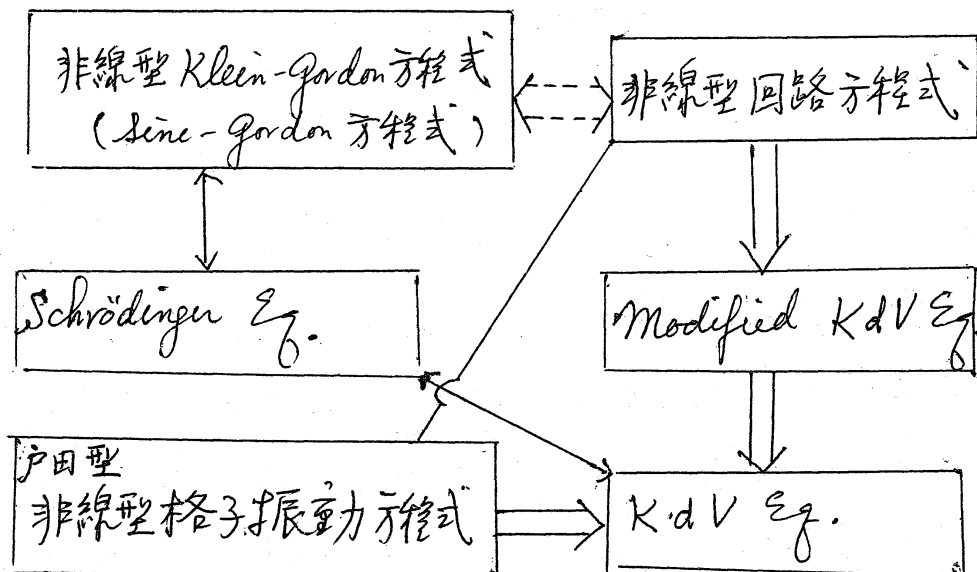


図 1.

Sine-Gordon 方程式の長所は、<sup>1)</sup> 1) 相対論的に不变であるから、Passive 系(ソリトンが静止している状態)から Active 系(ソリトンが等速運動している状態)へ Lorentz 変換によって移れる事である。この事は signal の Parametric amplification を論ずる時に便利である。

<sup>2)</sup> 2) Sine-Gordon 方程式は Bäcklund-transformation

<sup>10)</sup> と“う面白い”変換があって、既知の解から新しい解を求めるのは、Riccati型の全微分方程式を解く事に帰着する。

したがって、非線型格子振動方程式の解を求めるためにも、先づ Sine-Gordon 方程式の解を求めてみる事は色々と役立つ事が多い。

第2章以下各章の内容は次の通りである。

第2.1章では Josephson-junction transmission line の model 方程式と、2 Sine-Gordon 方程式を考え、junction で流れれる current と 1 次ソリトン的量を定義する、そして Sine-Gordon 方程式の解法と 1 次 Bäcklund-transformation を紹介する。

第2.2章で、みる種の対称非線型回路方程式<sup>11)</sup>を方程式の極限が Modified Korteweg-de Vries equation である事を示す。

第3章では、これら二つの方程式の解が、(i) 単一ソリトン (ii) ソリトンのつらなり波 (iii) ソリトン-ソリトンの衝突の各場合について同じ型の解をもつ事を示す。

第4.1章では、Sine-Gordon 方程式において、つらなり波の中のさざ波を考えると、さざ波に対する方程式が周期的な Potential をもつ Schrödinger equation である事を示す。この方程式は generalized Lamé equation の特別な

場合であり、厳密解<sup>12)</sup>が存在するため、周期的なPotential場におけるエネルギーのバンド構造が正確に求められる。<sup>13)</sup>

第4.2章では上で求めたさざ波を表わす解が対称回路方程式における同じ形で求められる事を示し、これから Modified K-dV eq. や、戸田型非線型格子振動方程式における対応する解が存在することを示す。最後にこの形の関数は非線型 Schrödinger equation<sup>14)</sup>の解であり、Envelop Soliton<sup>15)</sup>のつうおり波を与えるもってみる事を示す。

### §2.1 Sine-Gordon 方程式

A.C. Scottによると Josephson-junction transmission line は図2に示すよろに非常に薄い絶縁層を介して相互作用して二つの超電導の板から成り立つおり、このtransmission line は図3の等価回路でよく換えられる。

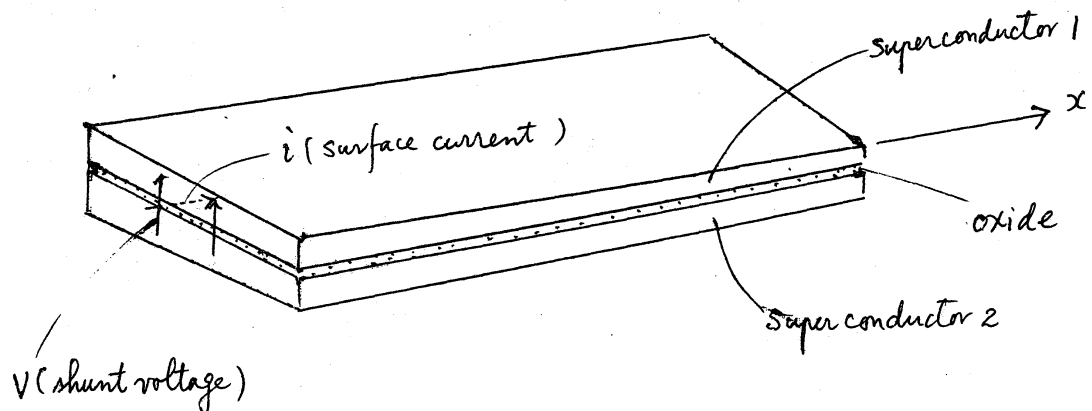


図 2

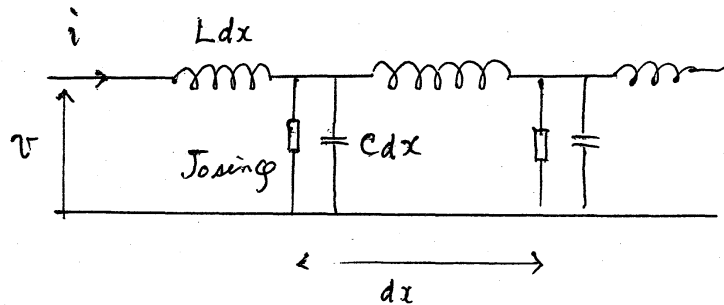


図 3

絶縁層を流れる Josephson current,<sup>16)</sup>  $J$  は超電導状態 1 と 2 の phase の差  $\varphi$  に関係してあり、次式で与えられる。

$$J = J_0 \sin \varphi. \quad (1)$$

図 3 で与えられた電流方程式を適当な単位を便、 $v$  表わすと次式となる

$$\frac{\partial v}{\partial x} = - \frac{\partial i}{\partial t} \quad (2)$$

$$\frac{\partial i}{\partial x} = - \frac{\partial v}{\partial t} - \sin \varphi \quad (3)$$

$$\frac{\partial \varphi}{\partial t} = v \quad (4)$$

式(2), (4)から

$$\frac{\partial \varphi}{\partial x} = - i \quad (5)$$

を得る。

式(2), (3), (4)から次の sine-gordon 方程式が得られる,

$$\frac{\partial^2 \varphi}{\partial x^2} - \frac{\partial^2 \varphi}{\partial t^2} = \sin \varphi \quad (6)$$

座標変換  $t = p - q, x = p + q$  によると(6)式は

$$\frac{\partial^2}{\partial p \partial q} \varphi = \sin \varphi \quad (7)$$

となるが、今(7)式の一つの解を  $\varphi_0$  とするとこの  $\varphi_0$  からパラメータ  $p, q$  を含む変換、Bäcklund-transformation によると新しい解  $\varphi$  が構成される:

$$\varphi = B_\sigma \varphi_0 \quad (8)$$

これは、 $\varphi_0$  が(7)式の解であるとき、次の連立方程式をみたす解  $\varphi$  が(7)式の解になるからである、

$$\frac{\partial}{\partial p} \frac{1}{2} (\varphi - \varphi_0) = \frac{1 + \sin \sigma}{\cos \sigma} \sin \frac{1}{2} (\varphi + \varphi_0) \quad (9)$$

$$\frac{\partial}{\partial q} \frac{1}{2} (\varphi + \varphi_0) = \frac{1 - \sin \sigma}{\cos \sigma} \sin \frac{1}{2} (\varphi - \varphi_0) \quad (10)$$

新しい関数  $\omega$  を次式で定義すると、

$$\omega = \tan \frac{\varphi}{4} \quad (11)$$

式(9),(10)から、 $\tilde{\omega}$ は Riccati 型の全微分方程式を満足する事  
がわかる；

$$d\tilde{\omega} = (a\tilde{\omega}^2 + b\tilde{\omega} + c)dp + (a'\tilde{\omega}^2 + b'\tilde{\omega} + c')dq \quad (12)$$

$\therefore > \tau''$

$$\begin{cases} a \\ c \end{cases} = \frac{1}{2} \left[ \frac{1}{2} \frac{\partial \varphi_0}{\partial p} \mp \frac{1+\sin\sigma}{\cos\sigma} \sin \frac{\varphi_0}{2} \right] \quad (13)$$

$$\begin{cases} a' \\ c' \end{cases} = \frac{1}{2} \left[ -\frac{1}{2} \frac{\partial \varphi_0}{\partial q} \pm \frac{1-\sin\sigma}{\cos\sigma} \sin \frac{\varphi_0}{2} \right] \quad (14)$$

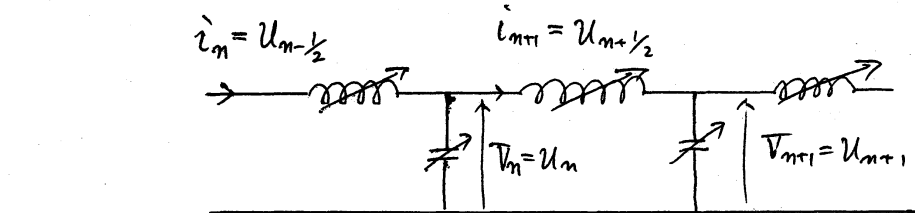
$$\begin{cases} b \\ b' \end{cases} = \frac{1 \pm \sin\sigma}{\cos\sigma} \cos \frac{\varphi_0}{2} \quad (15)$$

A. Seeger 連は<sup>3)</sup> Bäcklund transformation を用いて、  
Sine-Gordon 方程式の色々な解を求めた。

## § 2.2 対称非線型回路方程式

対称非線型回路とは図4で示される梯子型の BC 非線型回路であるが、論文II) の結果を便りと次の微分方程式によ  
て記述される。

$$\frac{1}{1+U_n^2} \frac{\partial U_n}{\partial t} = U_{n-\frac{1}{2}} - U_{n+\frac{1}{2}}, \quad n = \dots, -2, -1, 0, 1, 2, \dots \quad (16)$$



*charge*  
~~Capacitance~~  $Q_m(U_m) = \tan^{-1} U_m$ , Flux  $B(i_m) = \tan^{-1} i_m$

図 4.

今

$$U_m(t) = \frac{\partial \phi_m}{\partial t} \quad (17)$$

$i = \dot{\phi}_m$  を  $\phi_m$  で定義する。と、 $\phi_m$  に対する微分方程式は

$$\frac{\partial \phi_m}{\partial t} = \tan(\phi_{m-\frac{1}{2}} - \phi_{m+\frac{1}{2}}) \quad (18)$$

となる。この方程式の解が式(6)の sine-gordon 方程式の解と非常によく似た性質をもつてることを次の第3章で示す。

式(18)は次のようになる  $\text{Modified K-dV Equation}$  と書く直される。

式(18)の右辺で差分を微分に置きかえて3次の微分式とし、 $\tan \phi$  の項も  $\phi$  について3次迄残して高次の項を落すと、

$$\frac{\partial^2 \phi}{\partial t^2} + \frac{\partial \phi}{\partial x} + \frac{\alpha}{3} \left( \frac{\partial \phi}{\partial x} \right)^3 + \delta \frac{\partial^3 \phi}{\partial x^3} = 0 \quad (19)$$

が得られる。 $\alpha > 0$   $\alpha, \delta$  は常数。上式で  $x$  で微分し

$$\frac{\partial \phi}{\partial x} = u \quad (20)$$

とおくと、 $U(x,t)$  の微分方程式は

$$\frac{\partial U}{\partial t} + \frac{\partial U}{\partial x} + \alpha U^2 \frac{\partial U}{\partial x} + \delta \frac{\partial^3 U}{\partial x^3} = 0 \quad (21)$$

と(1') Modified K-dV Equation が得られる。

§3. Sine-Gordon 方程式と対称非線型回路方程式の(1')  
トニ解の比較

Sine-Gordon 方程式(6)と対称非線型回路方程式(18)の解  
が非常によく似た性質をもつ事を示すために、今次式で  
 $U(x,t)$  を定義する。

$$U(x,t) = -\frac{\partial \phi}{\partial x} \quad (22)$$

$\phi$  は Sine-Gordon 方程式の解であるから式(5)によると  
 $U(x,t)$  は Junction に流れ電流の意味をもつ。となる。

この  $U(x,t)$  は左に、対称非線型方程式(16)の解  $U_m(t)$  は  
右に、色々の場合によつて具体的な書く次の様である。

### 方程式

$$\left( \frac{\partial^2}{\partial x^2} - \frac{\partial^2}{\partial t^2} \right) \phi = \sin \phi \quad \mid \quad \frac{\partial \phi_m}{\partial t} = \tan(\phi_{m-\frac{1}{2}} - \phi_{m+\frac{1}{2}}) \quad (23)$$

$$U(x,t) = \frac{\partial \phi}{\partial x} \quad \mid \quad U_m(t) = \frac{\partial \phi_m}{\partial t} \quad (24)$$

## (i) 単一ソリトン

$$\begin{array}{|c|c|} \hline & \begin{aligned} U(x,t) &= \pm \frac{2\gamma}{\cosh \xi} \\ \xi &= \gamma(x-vt) \\ \gamma &= \frac{1}{\sqrt{1-v^2}} \\ v &: \text{任意常数} < 1 \end{aligned} & \begin{aligned} U_n(t) &= \pm \frac{\Omega}{\cosh \xi} \\ \xi &= 2(\Omega t - p_n) \\ \Omega &= \sinh p \\ p &: \text{任意常数} \end{aligned} & (25) \\ \hline \end{array}$$

## (ii) ソリトンの連成波

$$\begin{array}{|c|c|} \hline a) & \begin{aligned} U(x,t) &= 2K\gamma cn(\xi, K) \\ \xi &= \gamma(x-vt) \\ \gamma &= \frac{1}{\sqrt{1-v^2}} \\ v &< 1: \text{任意常数} \end{aligned} & a) & \begin{aligned} U_n(t) &= K\Omega cn(\xi, K) \\ \xi &= 2(\Omega t - p_n) \\ \Omega &= \frac{sn(p, K)}{dn(p, K)} \end{aligned} & (26) \\ \hline b) & \begin{aligned} U(x,t) &= 2\gamma dn(\xi, K)/K \\ \xi &= \gamma(x-vt)/K \\ \gamma &= \frac{1}{\sqrt{1-v^2}} \\ v < 1 &: \text{任意常数} \end{aligned} & b) & \begin{aligned} U_n(t) &= \Omega dn(\xi, K) \\ \xi &= 2(\Omega t - p_n) \\ \Omega &= \frac{sn(p, K)}{cn(p, K)} \\ p &: \text{任意常数} \end{aligned} & (27) \\ \hline \end{array}$$

上式で  $sn, cn, dn$  は Jacobi の椭円関数で  $K$  は modulus である。ソリトンの連成波は modulus  $K \rightarrow 1$  の極限で 単一ソリトンと一致する。

(iii) リリトニーソリト=の解

微分方程式の解は次の式で与えられる。

$$\Phi(x, t)/4$$

$$= \tan^{-1} [e^{\varphi_0} \frac{\sinh \frac{1}{2}(\xi - \gamma)}{\cosh \frac{1}{2}(\xi - \gamma)}]$$

$$\therefore > \gamma$$

$$\xi = \gamma(x + vt)$$

$$\gamma = \pm \gamma(x - vt)$$

$$e^{\pm \varphi_0} = v$$

$$\gamma = \frac{1}{\sqrt{1-v^2}}$$

$$v < 1 \text{ は速音速}$$

$$\phi_m(t)$$

$$= \tan^{-1} [e^{\varphi_0} \frac{\sinh \frac{1}{2}(\xi - \gamma)}{\cosh \frac{1}{2}(\xi + \gamma)}] \quad (28)$$

$$\therefore > \gamma$$

$$\xi = \Omega_1 t - p_1 n$$

$$\gamma = \Omega_2 t - p_2 n$$

$$e^{\varphi_0} = \frac{\sinh \frac{1}{2}(p_1 - p_2)}{\sinh \frac{1}{2}(p_1 + p_2)}$$

$$p_1, p_2, \Omega \text{ は素数}$$

とあるのでリリトニーソリトニの解を表わす式は

$$\begin{aligned} U(x, t) &= \frac{\partial \Phi}{\partial x} \\ &= \frac{2\gamma \operatorname{sech} \xi \pm 2\gamma \operatorname{sech} \gamma}{\cosh \varphi_0 - \sinh \varphi_0 (\tanh \xi \tanh \gamma + \operatorname{sech} \xi \times \operatorname{sech} \gamma)} \\ &= \frac{2\gamma \operatorname{sech} \xi \pm 2\gamma \operatorname{sech} \gamma}{\cosh \varphi_0 - \sinh \varphi_0 (\tanh \xi \tanh \gamma - \operatorname{sech} \xi \operatorname{sech} \gamma)} \end{aligned} \quad (29)$$

とある。  $\gamma \rightarrow \infty$  の極限ではこれ

$$U(x, t) = \frac{2\gamma}{\cosh(\xi - \varphi_0)} \quad | \quad U_n(t) = \frac{\Omega_1}{\cosh(\xi - \varphi_0)}$$

となり单一ソリトニを表わす。

§4.1 ソリトンの連成波の中のミラ波  
Sine-Gordon 方程式

$$\left( \frac{\partial^2}{\partial x^2} - \frac{\partial^2}{\partial t^2} \right) \phi = \sin \phi \quad (6)$$

において、 $\phi$ を上式の厳密解 $\phi_0$ と、それからのずれ入 $\psi(x,t)$ と分けて

$$\phi(x,t) = \phi_0(x,t) + \lambda \psi(x,t) \quad (30)$$

とき、入の一次の項迄と3次の方程式が得られる。

$$\left( \frac{\partial^2}{\partial x^2} - \frac{\partial^2}{\partial t^2} \right) \psi(x,t) = \cos \phi_0(x,t) \cdot \psi(x,t) \quad (31)$$

$\phi_0(x,t)$ と1でソリトンの連成波を与える解。

$$\phi_0(x,t) = \pi - 2 \operatorname{am} \left( \frac{x}{k} \right) \quad (32)$$

$\operatorname{am}$  is amplitude function  
 $k$  is modulus

を便うと

$$\cos \phi_0(x,t) = 2 \operatorname{sn}^2 \left( \frac{x}{k}, k \right) - 1 \quad (33)$$

となる。 $x/k$ を改めて $x$ とおく、 $\psi(x,t) = e^{i\omega t} \psi(x)$ とおくと式(31)は次の形の Schrödinger 方程式になる

$$\left(-\frac{\partial^2}{\partial x^2} + 2k^2 \sin^2(x, k) - \omega^2\right) \psi(x) = 0. \quad (34)$$

この式は generalized Lamé equation<sup>(12)</sup>,

$$\left(-\frac{\partial^2}{\partial x^2} + n(n+1)k^2 \sin^2(x, k) + A\right) \psi(x) = 0 \quad (35)$$

" $n=1$ " とおひつじの場合である。

同じようすを次の非線型 Klein-Gordon 方程式で扱う。

以下に示すように generalized Lamé equation の " $n=2$ " とおひつじ方程式が得られる。

非線型 Klein-Gordon 方程式

$$\left(\frac{\partial^2}{\partial x^2} - \frac{\partial^2}{\partial t^2}\right) \varphi(x, t) = -2 \varphi(1 - \varphi^2) \quad (36)$$

12 おひつじ

$$\varphi_0(x, t) = k \alpha \sin(\alpha x, k) \quad (37)$$

$$\alpha = \sqrt{\frac{2}{1+k^2}}$$

は式(36)の厳密解である。そこで  $\varphi = \varphi_0 + \lambda \psi$  とおひつじ、 $\lambda$  の一次の項迄とると、次の式が得られる

$$\left(\frac{\partial^2}{\partial x^2} - \frac{\partial^2}{\partial t^2}\right) \psi(x, t) = -2(1 - 3\varphi_0^2) \cdot \psi(x, t). \quad (38)$$

$\Rightarrow \text{2}^{\text{次}} \text{の} \psi(x) \text{を} \psi(x) = e^{i\omega t} \psi(x) \text{とおくと}$   
次の方程式が得られる

$$\left( -\frac{\partial^2}{\partial x^2} + 6k^2 \sin^2(x, k) - \frac{\omega^2}{\alpha^2} \right) \psi(x) = 0 \quad (39)$$

これは generalised Lamé equation ( $n=2$  の場合)  
である。

Generalised Lamé equation の解は 1872 年 J. Hermite  
によって求められており<sup>12)</sup>、 $\Rightarrow$  これは  $n=1$  の場合である式  
(34) の解について詳しく議論する。

式(34) は 周期  $2R(k)$  ( $R(k)$  は第一種完全積分) の  
ボテンシャル、ヤル場  $V(x) = 2k^2 \sin^2(x, k) - 1$  (図 5 参照) の  
Schrödinger 方程式である。

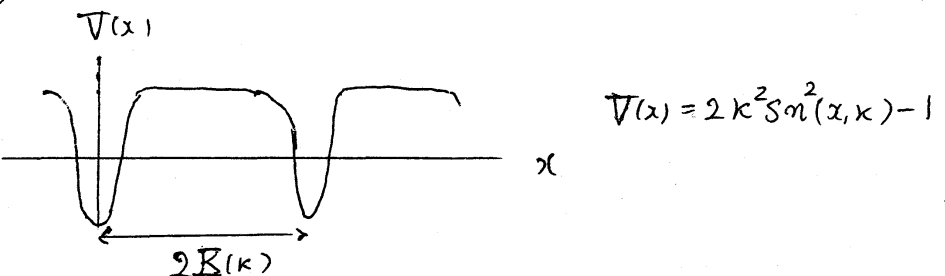


図 5

Hermite の解を少し変形して Bloch 波数の形で表わすと

$$\psi(x) = U_q(x) e^{iqx} \quad (40)$$

$\zeta > 2$ 

$$U_q(x) = \frac{\text{H}_0(0)\text{H}_0(x+\beta)}{\text{H}_0(x)\text{H}_0(\beta)} \quad (41)$$

$$\omega = i \operatorname{cn}(\beta) / \operatorname{sn}(\beta) \quad (42)$$

$$\varphi = i \Sigma(\beta) + i \operatorname{cn}(\beta) \operatorname{dn}(\beta) / \operatorname{sn}(\beta) \quad (43)$$

$\text{H}_0$ ,  $\Sigma$  は Jacobi's theta, zeta の関数であり,  $\beta$  は任意のパラメータである。

振動数  $\omega$  と波数  $q$  が共に実数にならず  $\beta$  を選ぶと、 $\omega$  と実のパラメーターとしたとき、次の二つの場合に限られる。

$$(i) \quad \beta = i\alpha \quad (44)$$

$$(ii) \quad \beta = i\alpha + R(k) \quad (45)$$

したがって、バニド構造は図 6 に示すようす。周期的ポテンシャル場にも拘わらず、非常に単純になる。その原因は单一ソリトンポテンシヤルによって波が散乱 (phase と位相) されずある<sup>17)</sup>と思われる。

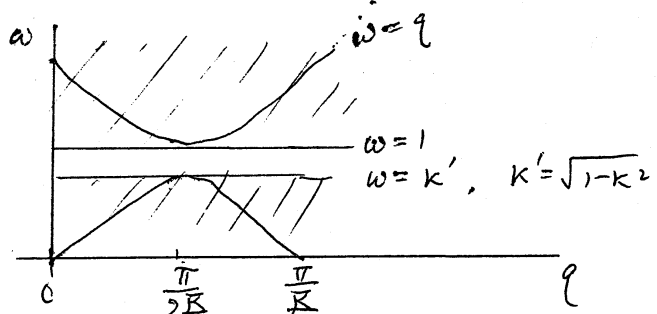


図 6.

尚式(4)で表わされた解は、座標変換によつて動く系に移ると、ソリトニの連成波が Pumping Power とみなせらから、signal o parametric amplification を表わすものと思われたが詳しく述べは未だ終つてない。

### §4.2 連成波の中のミグ波

前節で、 sine-Gordon 方程式におけるソリトニの連成波の中のミグ波を表わす関数が得られたが、この関数は又、対称非線型回路方程式、Modified K-dV 方程式、戸田型非線型格子振動方程式そして非線型光学と超電導に出てくる非線型 Schrödinger 方程式の解ともなり得る事は以下に示す。

#### a) 対称非線型方程式

前節の手続を以て左から方程式、

$$\frac{\partial \phi_m}{\partial t} = \tan(\phi_{m-\frac{1}{2}} - \phi_{m+\frac{1}{2}}) \quad (23)$$

を既知の解  $\phi_m^0$  を展開して、 $\phi_m = \phi_m^0 + \lambda \psi_m$  とおき、 $\lambda$  の一次の項迄と3次の方程式が得られる。

$$\frac{\partial \psi_m}{\partial t} = [1 + (U_m^0(t))^2] (\psi_{m-\frac{1}{2}} - \psi_{m+\frac{1}{2}}) \quad (46)$$

$$U_m^0(t) = \frac{\partial \phi_m^0}{\partial t} \quad (47)$$

今  $U_m^0(t)$  と 1 ゼソリトニの連成波、式(26)をとる、

$$U_m^0(t) = \kappa \Omega \operatorname{cn}(\xi, \kappa) \quad (26)$$

式(46)の解は

$$\psi_m(t) = \frac{\Theta_0(\alpha) \Theta_0(\beta + \beta)}{\Theta_0(\beta) \Theta_0(\beta)} e^{i \omega (\omega t - k m)} \quad (48)$$

と書ける事が示された。

### b) Modified K-dV 方程式

第2.2章で得られた式(19)によると

$$\phi = \phi_0 + \lambda \psi \quad (49)$$

とおくと、 $\psi$  は  $n$  次式は

$$\frac{\partial \psi}{\partial t} + [1 + \alpha \left( \frac{\partial \phi}{\partial x} \right)^2] \frac{\partial \psi}{\partial x} + \delta \frac{\partial^3 \psi}{\partial x^3} = 0 \quad (50)$$

とする。  $\frac{\partial \phi}{\partial x}$  がソリトニの連成波を表わす時、即ち

$$\frac{\partial \phi}{\partial x} = A \operatorname{dn}(\xi, \kappa) \quad (51)$$

$$A^2 = \frac{6}{\omega} \delta p^2, \quad \xi = \Omega t - px$$

$$\Omega = p + \delta p^3 (2k^2 - 1), \quad p \text{ は任意常数}$$

のと、式(50)の解も式(40)と同じ形

$$\psi(x, t) = \frac{(\text{H}_0(0) \text{H}_0(\beta + \beta))}{(\text{H}_0(\beta) \text{H}_0(\beta))} e^{i(\omega t - kx)} \quad (52)$$

いたる事が示された。

c) 戸田型非線型格子振動方程式

戸田<sup>7)</sup>によると之は方程式、

$$m \frac{d^2 r_n}{dt^2} = a(2e^{-br_n} - e^{-br_{n-1}} - e^{-br_{n+1}}) \quad (53)$$

で  $e^{-br_n} = \frac{1}{a} \frac{\partial^2 S_n}{\partial t^2}$  とおき適當な単位を便へと、式(53)は

$$\log(1 + \frac{\partial^2}{\partial t^2} S_n) = S_{n+1} + S_{n-1} - 2S_n \quad (54)$$

となる。前と同様に  $S_n = S_n^0 + \lambda \psi_n$  とおくと線型化され

$$\frac{1}{1 + V_n^0(t)} \frac{\partial^2}{\partial t^2} \psi_n = \psi_{n+1} + \psi_{n-1} - 2\psi_n \quad (55)$$

$$V_n^0(t) = \frac{\partial^2 S_n^0}{\partial t^2} \quad (56)$$

となる。 $V_n^0(t)$  がソリトンの連成波を表わす時、

$$V_n^0(t) = \Omega^2 [dn^2(\xi, K) - E/K] \quad (57)$$

$$\therefore \tau' \quad \xi = \Omega t - p_n$$

$$\Omega^2 = \left[ \frac{cn^2(p, k)}{sn^2(p, k)} + \frac{E}{B} \right]^{-1}$$

$p$  は任意常数

$E$  は半2半の完全椭円積分

の時、式(56)の解も式(48)と同じ形に存在する事が示される。

#### d) 非線型 Schrödinger 方程式

最後に非線型光学や超電導でみられる次の非線型 Schrödinger 方程式<sup>18)</sup>

$$i \frac{\partial \psi}{\partial t} = -\frac{1}{2} \frac{\partial^2 \psi}{\partial x^2} + g |\psi|^2 \psi \quad (58)$$

の解も式(40)と同じ形

$$\psi(x, t) = A \frac{\Theta_0(\xi + \beta) \Theta_0(\zeta)}{\Theta_0(\xi) \Theta_0(\beta)} e^{-i(\omega t - q x)} \quad (59)$$

とある事も証明できる。この時、面白い事に、図6によると上のバンドに対するパラメータ  $\beta = i\alpha$  の場合が式(58)で  $q > 0$  の時の解になり、下のバンドに対する  $\beta = i\alpha + B$  の場合が  $q < 0$  の時の解になっている。式(59)は Envelop Soliton<sup>15)</sup> の連成波を与えている。

以上、この節では色々な方程式の解の形だけ示しに止が、解の詳しい性質については、現在検討中である。

## References

- 1) J. Rubinstein ; J. of Math. Phys. 11 ('70) 258
- 2) A. C. Scott ; Amer. J. of Phys. 37 ('69) 52
- 3) A. Seeger, H. Dornth and A. Kochendörfer ; Zeit. für Phys. 134 ('53) 173
- 4) G. L. Lamb Jr. ; Physics Letters, 32A ('70) 251
- 5) J. K. Perring and T. H. R. Skyrme ; Nuclear Physic. 31 ('62) 530
- 6) R. M. Miura ; J. of Math. Phys. 9 ('68) 1202
- 7) 幸田良和. 日本物理学会誌 24巻 ('69) 575
- 8) C. S. Gardner, J. M. Greene, M. D. Kruskal and R. M. Miura ; Phys. Rev. lett. 19 ('67) 1095
- 9) R. Hirota and K. Suzuki ; J. of Phys. Soc. of Japan ; 28 ('70) 1366
- 10) 文献 3) の同上
- 11) 教育省解説石川清宣編 83 ('70) 102 幸田良和、鈴木公男
- 12) Whittaker and Watson "Modern Analysis" Page 573
- 13) 幸田良和 : 物理学会誌 46年 4月 講演,
- 14) T. Taniuti & N. Yajima ; J. of Math. Phys. 10 ('69) 1369
- 15) F. D. Tappert & C. M. Varma ; Phys. Rev. lett. 25 ('70)

- (16) B.D. Josephson; *Advan. Phys.* 14 (65) 419
- (17) L.D. Landau and E.M. Lifshitz; *Quantum Mechanics, non-Relativistic Theory*
- (18) V.E. Zakharov; *Soviet Physics* 26 (68) 994